



ارزیابی و طبقه‌بندی قابلیت مکانیزاسیون لایه‌های زغالسنگ تحت شرایط زمین‌شناسی (مطالعه موردی: حوضه البرز شرقی و طبس)

رضا میکائیل^{۱*}، احسان جعفرنژاد قراحسنلو^۲، امیر جعفرپور^۳

پذیرش مقاله: ۹۸/۰۴/۱۶

دريافت مقاله: ۹۷/۱۲/۱۳

چکیده

امروزه به موازات استخراج مواد معدنی بهویژه زغالسنگ، اهدافی همچون دستیابی به بهره‌وری و نرخ تولید بالا، بهبود شرایط کاری و کاهش هزینه‌های معدنکاری دنبال می‌شود. یکی از مناسب‌ترین گرینه‌ها برای رسیدن به این اهداف، جایگزینی روش‌های استخراج سنتی با استخراج تمام‌مکانیزه است. مکانیزه کردن فرآیند استخراج لایه‌های زغالی، برخلاف روش‌های سنتی امری زمان‌بر و نیازمند صرف هزینه‌های سرمایه‌گذاری بالا می‌باشد. لذا توجه به این امر حساسیت ویژه‌ای در تمامی مراحل طراحی و اجرا را موجب می‌شود. بنابراین لازم است تا در مرحله نخست از طراحی، بررسی و شناسایی قابلیت مکانیزاسیون لایه‌های زغالی مورد توجه قرار گیرد. قابلیت مکانیزاسیون لایه‌های زغالی متأثر از عوامل عده‌ای نظیر شبیل لایه، ضخامت لایه، یکنواختی لایه، کیفیت سنگ سقف، کیفیت سنگ کف و دبی آب موجود در سینه‌کار است. در پژوهش حاضر، سعی شده است یک سیستم طبقه‌بندی فازی چندفاکتوره با استفاده از تلفیق رویکرد فازی چندمعیاره و روش تحلیل سلسله مرتبی فازی دلفی (FDHP)، به منظور ارزیابی و شناسایی قابلیت مکانیزاسیون لایه‌های زغالی ارائه شود. بدین منظور، قابلیت مکانیزاسیون ۱۷ کارگاه استخراجی (FDAQP)، به ارزیابی و شناسایی مکانیزاسیون لایه‌های زغالی ارائه شود. در ادامه، نتایج به دست آمده از سیستم طبقه‌بندی فازی ارائه شده، مربوط به لایه‌های زغالی در حوضه البرز شرقی و طبس مورد ارزیابی قرار گرفت. مطابق نتایج به دست آمده از سیستم طبقه‌بندی فازی ارائه شده، تنها دو لایه زغالی T پروده طبس، با رده کیفی خوب و لایه زغالی K11 معدن تخت، با رده کیفی متوسط شرایط اجرای استخراج مکانیزه را دارا بوده و سایر لایه‌ها رده کیفی مناسبی برای مکانیزاسیون به دست نیاوردن. در ادامه، نتایج حاصل از بررسی قابلیت مکانیزاسیون لایه‌های مورد مطالعه با شرایط اجرایی فعلی آنها مورد ارزیابی قرار گرفت. نتایج بررسی‌ها نشان داد که می‌توان با قابلیت اطمینان بالایی و با توجه به شرایط زمین‌شناسی موصوف به ارزیابی قابلیت مکانیزاسیون لایه‌های زغالی با استفاده از سیستم طبقه‌بندی فازی چندفاکتوره ارائه شده پرداخت.

کلیدواژه‌ها: مکانیزاسیون، طبقه‌بندی، تئوری فازی، البرز شرقی، طبس.

۱. عضو هیئت علمی دانشکده مهندسی معدن و متالورژی، دانشگاه صنعتی ارومیه reza.mikaeil@gmail.com

۲. دانش آموخته کارشناسی ارشد مهندسی معدن، دانشکده مهندسی معدن و متالورژی، دانشگاه صنعتی ارومیه

۳. دانشجوی دکترای مهندسی معدن، دانشکده مهندسی معدن و متالورژی، دانشگاه یزد

* مسئول مکاتبات

تا کنون مطالعات ارزشمندی توسط پژوهشگران بر روی قابلیت مکانیزاسیون معادن زغالسنگ انجام گرفته است. عطایی و همکاران (۲۰۰۹)، با استفاده از منطق فازی و در نظر گرفتن پارامترهایی نظیر شیب لایه، ضخامت لایه، شرایط زمین‌شناختی و کیفیت کمربالا و کمرپایین، به ارزیابی و طبقه‌بندی قابلیت مکانیزاسیون لایه‌های زغالی معادن تخت پرداختند. وانگ و همکاران (۲۰۱۱)، قابلیت استخراج تمام-مکانیزه لایه‌های زغالی نازک تحت شرایط نامناسب زمین‌شناختی را مورد بررسی قرار دادند. حسینی و همکاران (۱۳۹۱)، شاخص جدیدی را به منظور ارزیابی قابلیت مکانیزاسیون لایه‌های زغالی معادن زغالسنگ طرره ارائه داده و در پژوهشی دیگر، حسینی و همکاران (۲۰۱۲) با بهره‌گیری از منطق فازی، همین موضوع را بررسی کردند. از فیرات (۲۰۱۲)، با استفاده از روش تحلیل سلسله مراتبی (AHP) و در نظر گرفتن معیارهای اصلی و زیرمعیارهای مؤثر، قابلیت مکانیزاسیون معادن زیرزمینی زغالسنگ آماسرا را مورد بررسی و مطالعه قرار داد. همچنین، حسینی و همکاران (۲۰۱۳) نیز یک سیستم طبقه‌بندی جدیدی را بر اساس معیارهای مهم شیب لایه، ضخامت لایه، شرایط زمین‌شناختی، کیفیت سنگ‌های سقف و کف کارگاه ارائه دادند. قادرنژاد و همکاران (۲۰۱۹)، در پژوهش خود با رویکرد ترکیبی روش‌های تحلیل سلسله مراتبی فازی دلفی (FDAHP) و پرمیتی (PROMETHEE) به بررسی قابلیت مکانیزاسیون لایه‌های معادن طرزه پرداخته‌اند.

در پژوهش حاضر نیز یک سیستم طبقه‌بندی فازی چندفاکتوره به منظور شناسایی و انتخاب لایه‌های زغالسنگ با قابلیت بالای استخراج مکانیزه ارائه شده است. از جمله دلایل کاربرد این روش ترکیبی، سازگاری آن با شرایط مختلف مسائل مهندسی و نیز سازگاری نتایج آن با شرایط واقعی است. به‌طوری که امروزه می‌توان شاهد استفاده طیف گسترده‌ای از روش‌های ترکیبی فازی در علوم مهندسی بود که ناشی از بهینه بودن نتایج، سهولت مدل‌سازی مسائل مهندسی و نیز نتایج قابل قبول حاصل از آنها است.

۱. مقدمه

در سال‌های اخیر، همگام با استخراج مواد معدنی به‌ویژه زغالسنگ، اهدافی نظیر افزایش نرخ تولید، کاهش هزینه‌ها، بهبود شرایط کاری و افزایش بهره‌وری استخراج در دستور کار طراحان و مهندسان معادن قرار گرفته است و آنها مؤلفه به ارائه راهکارهایی برای دستیابی به اهداف تعیین شده هستند (Ataei et al., 2009). استخراج مکانیزه کارگاه‌های استخراج می‌تواند گزینه مطلوبی برای نیل به این اهداف باشد. مکانیزه کردن، به کارگیری ماشین‌آلات و تجهیزات پیشرفته برای انجام فعالیت‌هایی است که در گذشته از انسان یا حیوان استفاده می‌شده است (قادرنژاد و همکاران، ۱۳۹۵). در صنعت معدنکاری، استفاده از ماشین‌آلات و تجهیزات پیشرفته به منظور بهبود شرایط کاری، افزایش بهره‌وری و نیز افزایش ایمنی، از بدرو استخراج تا تولید محصول نهایی انجام می‌گیرد. تجربه‌های به دست آمده از مکانیزاسیون معادن، حاکی از آن است که علاوه بر شرایط زمین‌شناختی و تکنولوژی فیزیکی-مکانیکی، سایر عوامل نظیر تغییر کارگروه مدیریتی، ساختارهای سازمانی، صنایع حمایت‌کننده، دسترسی به دانش فنی روز، برنامه‌ریزی کاری و نحوه اجرای عملیات معدنکاری در فرایند مکانیزاسیون تأثیرگذار هستند (Hattingh et al., 2010).

مکانیزاسیون فرایند استخراج برخلاف روش استخراج سنتی، امری زمان‌بر و مستلزم صرف هزینه‌های سرمایه‌گذاری بالا و انجام مطالعات گسترده پیش از مکانیزاسیون است. به طور کلی، می‌توان اهداف مکانیزه کردن معادن را به صورت افزایش ایمنی (کاهش تعداد افراد مشغول در بخش‌های خط‌رانک)، افزایش نرخ تولید، تمرکز فعالیت‌های معدنی و در نتیجه کاهش هزینه‌های معدنکاری بیان کرد (Ataei et al., 2009). از آنجایی که مکانیزاسیون معادن زغالسنگ نقشی اساسی را در بهبود شرایط معدنکاری و افزایش تولید تحت شرایط پایدار ایمنی ایفا می‌کند؛ از این‌رو امروزه مطالعه، بررسی و شناسایی لایه‌های زغالسنگ با قابلیت بالای مکانیزاسیون امری ضروری و غیرقابل اجتناب برای مهندسان معادن است.

اعضا در یک مجموعه به صورت جملات دودویی (باینری) و بر اساس شرط دودویی تعیین می‌شوند که یک عضو یا به مجموعه تعلق دارد یا ندارد و مرزهای یک مجموعه کاملاً مشخص و تیز هستند و به همین علت به آن‌ها مجموعه کاملاً مشخص نیز گفته می‌شود. در حالی که در تئوری فازی، درجات نسبی عضویت اعضا در مجموعه مجاز است و در آن‌ها مرزها نامشخص و نرم هستند. مجموعه‌های فازی تعمیم مشخصه $\{0,1\}$ به تمام اعداد موجود در بازه $[0,1]$ است (Bellman and Zadeh, 1970).

در واقع، در مجموعه‌های فازی برخلاف مجموعه‌های کلاسیک، عناصر به دو دسته عضو و غیرعضو تقسیم نمی‌شوند؛ بلکه بر اساس توابع تعریف‌شده، میزان عضویت عناصر مختلف در مجموعه‌های فازی بین بازه $[0,1]$ متغیر است. فرض کنید A یک زیرمجموعه فازی از مجموعه مرجع X باشد. تابع عضویت A در مجموعه مرجع X به صورت رابطه (۱) تعریف شده و نشان داده می‌شود (Zadeh, 1978):

$$\mu_A: X \rightarrow [0,1] \quad (1)$$

که در آن، μ_A میزان درجه عضویت هر عضو از مجموعه A را در بازه $[0,1]$ نمایش می‌دهد.

در رابطه (۱)، مقدار صفر برای نمایش عدم عضویت کامل و مقدار یک برای نمایش عضویت کامل به کار می‌رود و تماماً مقادیر بین این دو مقدار، برای نمایش میزان عضویت میانی هر عضو مجموعه A به کار می‌رود. معمولاً یک مجموعه فازی با مجموعه‌ای از زوج مرتب‌ها به صورت رابطه (۲) نمایش داده می‌شود (Zadeh, 1978):

$$A = \{(x, \mu_A(x)), x \in U\} \quad (2)$$

که در آن، پارامتر U شامل یک مجموعه متناهی از X_i ‌ها است. همچنین مجموعه متناهی فازی را می‌توان به صورت رابطه (۳) نمایش داد (Dubois and Prade, 1980):

۲. روش‌شناسی

در این پژوهش، به منظور ارائه یک سیستم طبقه‌بندی برای ارزیابی قابلیت مکانیزاسیون لایه‌های زغالسنگ حوضه البرز شرقی و طبس که مجموعاً شامل ۱۷ کارگاه می‌شود، تئوری مجموعه‌های فازی و رویکرد فازی چندمعیاره به کار گرفته شد. برای ارائه سیستم طبقه‌بندی فازی به منظور تحلیل وضعیت لایه‌های زغالسنگ حوضه البرز شرقی و طبس از نظر قابلیت مکانیزاسیون این لایه‌ها، ابتدا با ارائه تئوری روش‌شناسی مورد نظر، مسئله به چالش کشیده شده و سپس با انجام محاسبات و تحلیل نتایج خروجی حاصل از روش ارائه شده مورد ارزیابی قرار می‌گیرند.

اولین گام از تحلیل داده‌ها، تعیین درجه اهمیت معیارها برای ایجاد سیستم طبقه‌بندی جدید بود. میزان اهمیت هر یک از معیارهای ذکر شده با استناد به نظر خبرگان و متخصصان تعیین شد. در این مرحله، ابتدا فرم پرسشنامه برای کارشناسان خبره در زمینه معادن زغالی ارسال و پس از جمع‌آوری فرم‌های پرسشنامه، درجه اهمیت هر یک از معیارها با استفاده از روش تحلیل سلسله مراتبی فازی دلفی (FDAHP) و همچنین روش پیشنهادی ساعتی محاسبه شد. گام بعدی پس از تعیین درجه اهمیت معیارها، طبقه‌بندی معیارها در پنج رده کافی متفاوت (خوب، خوب، متوسط، ضعیف و خیلی ضعیف) بود. پس از تعیین رده‌های کیفی مربوط به هر معیار، برای هر یک از معیارها، یک تابع عضویت گائوسی یا سیگموئیدالی تعریف شده و سپس توابع عضویت پنج رده‌ای برای تمامی معیارها ارائه شدند. در ادامه، روش پژوهش به تفصیل تشریح شده و پس از آن، کاربرد روش ارائه شده در قالب مطالعه موردی ارائه می‌شود.

۲-۱. تئوری فازی و اصول بنیادین

تئوری فازی و مجموعه‌های فازی را اولین بار لطفعلی عسگرزاده در رساله‌ای به نام «مجموعه‌های فازی» در سال ۱۹۶۵ به منظور تحلیل سامانه‌های پیچیده معرفی کرد (Zadeh, 1965). در تئوری مجموعه‌های کلاسیک، عضویت

سیگموئیدال استفاده شد. یک تابع عضویت سیگموئیدال به صورت رابطه (۶) تعریف می‌شود (Jang and Sun, 1997)

$$sig(x; c, d) = \frac{1}{1 + \exp[-c \times (x - d)]} \quad (6)$$

که در آن، c شیب را در نقطه $x=d$ کنترل می‌کند. بسته به علامت پارامتر c ، منحنی یک تابع عضویت سیگموئیدال به طور ذاتی به سمت چپ یا راست باز شده و در نتیجه، برای نمایش مفاهیم همچون «بسیار خوب» و «بسیار ضعیف» مناسب است.

۲-۲. روش ارزیابی چندمعیاره

فرض کنید U یک مجموعه از عناصر به منظور ارزیابی باشد. $\prod = \{f_1, f_2, \dots, f_m\}$ مجموعه‌ای از پارامترهایی است که کیفیت عنصرهای تحت ارزیابی را مشخص می‌کنند و همچنین مجموعه $\{e_1, e_2, \dots, e_p\} = E$ را به عنوان مجموعه‌ای از نتایج کلامی در نظر بگیرید که در آن e_k کیفیت کلاس k را مشخص می‌کند. برای هر یک از پارامترهای f_j به ازای هر مقدار k از مجموعه $\{1, 2, \dots, p\}$ یک رده فازی e_k ایجاد می‌شود. به دلیل این که رده فازی e_k یک مجموعه فازی است که توسط f_j کنترل می‌شود، مجموعه فازی توسط A_{jk} طراحی می‌شود (Li and Yen, 1995). اگر رده‌های کیفی توسط اندیس فاصله‌ای به کار گرفته شوند، تابع هدف $Q^{(k)}$ به عنوان تابع عضویت تعریف می‌شود:

$$Q^{(k)}(x) = A_{jk}(x) \quad (7)$$

$$Q_j^{(1)}(x) = \frac{1}{1 + \exp[-c_j \times (x - d_j)]} \quad (7)$$

$j = 1, 2, \dots, m$

$$Q_j^{(k)}(x) = \exp\left(-\frac{1}{2}\left(\frac{x - a_j}{b_j}\right)^2\right) \quad (8)$$

$j = 1, 2, \dots, m, k = 1, 2, \dots, p - 1$

$$Q_j^{(p)}(x) = \frac{1}{1 + \exp[-c_j \times (x - d_j)]} \quad (9)$$

$j = 1, 2, \dots, m$

$$A = \sum_{i=1}^n \frac{x_i}{\mu_A(x_i)} \quad (3)$$

در صورتی که مجموعه U شامل بینهایت عضو باشد، معمولاً به صورت رابطه (4) نمایش داده می‌شود (Prade, 1980)

$$A = \int_x \frac{x}{\mu_A(x)} \quad (4)$$

تابع عضویت، تمامی اطلاعات موجود در یک مجموعه فازی مشخص را بیان می‌کند. تابع عضویت مجموعه‌های فازی باید به صورت دقیق در ارتباط با نوع تابع و نوع پارامترهای آن تعریف شوند. پارامترها و شکل تابع عضویت، به میزان Baglio et al., (1994).

در میان انبوه تابع عضویت موجود، تابع مثلثی، ذوزنقه‌ای، تسمه‌ای و گائوسی به عنوان پرکاربردترین تابع شناخته شده‌اند. با توجه با سادگی فرمول و بازدهی مناسب محاسباتی، هر دو تابع عضویت مثلثی و ذوزنقه‌ای به صورت گسترده استفاده شده است (Piegat, 2001; Bárdossy and Fodor, 2005). با این حال، به دلیل این که تابع عضویت مثلثی و ذوزنقه‌ای از خطوط مستقیم تشکیل می‌شوند، نقاط گوشش خطوط تیز بوده و فاقد نرمی مورد انتظار هستند. در پژوهش حاضر، تابع عضویت غیرخطی گائوسی و سیگموئیدال که صاف و نرم هستند، ترجیح داده شدند. یک تابع عضویت گائوسی به طور کامل توسط و b تعیین می‌شود. انشان دهنده مرکز تابع عضویت و b عرض تابع عضویت را تعیین می‌کند. تابع عضویت گائوسی توسط رابطه (5) تعریف می‌شود (Jang and Sun, 1997):

$$Gaussian(x; a, b) = \exp\left[-\frac{1}{2}\left(\frac{x - a}{b}\right)^2\right] \quad (5)$$

اگر چه انتهای منحنی تابع عضویت گائوسی و زنگوله‌ای صاف و نرم است، ولی این تابع فاقد توانایی در تعیین تابع عضویت نامتقارن هستند. برای حل این ناتوانی، از تابع

وجود دارد.
می‌توان به این نکته اشاره کرد که تعداد رده‌های کیفی برای تمامی پارامترها f_j یکسان است. با قبول سه عنصر برای مجموعه $u \in U$ ، نتایج ارزیابی $(r_{jk}(u))_{m \times p} = R^u$ می‌توان همانند شکل (۱) به دست آورد.

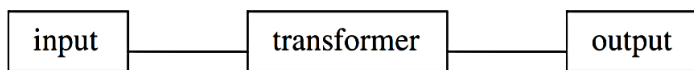
یک سیستم ارزیابی چندمعیاره به سه پارامتر کلیدی زیر نیاز دارد (Ataei et al., 2009):

$$\Pi = \{f_1, f_2, \dots, f_m\}$$

$$E = \{e_1, e_2, \dots, e_p\}$$

• به ازای هر عنصر $u \in U$ ، یک ماتریس ارزیابی تک‌عاملی

$$u \longrightarrow R^{(u)} - W \longrightarrow D^{(u)} = f(W, R^{(u)})$$



شکل ۱. فرآیند ارزیابی چندمعیاره (Tutmez et al., 2007)

باشد. سه تجمعیع‌کننده زیر، بیشترین کاربرد را در مدل‌های ارزیابی چندمعیاره فازی داشته‌اند (Tutmez et al., 2007):

- اجتماع عطفی معیارها
- اجتماع انفصلی معیارها
- اجتماع جبرانی معیارها.

با استفاده از تجمعیع‌کننده عطفی، تمامی معیارهای تصمیم‌گیری به صورت همزمان ارضاء خواهند شد. از طرفی دیگر، تجمعیع‌کننده انفصلی باعث جبران کامل در بین معیارها می‌شود. تجمع جبرانی برای رویارویی با معیارهای متناقض یا با رفتار تجمع انسانی مطلوب‌تر است. رفتار تجمعیع‌کننده جبرانی را می‌توان با استفاده از عملگر T-norm شبیه‌سازی کرد. T-norm‌ها بخشی از مجموعه‌های فازی هستند که بر روی همپوشانی مجموعه‌ها عمل می‌کنند؛ به این مفهوم که آن‌ها برای اجتماع نوع عطفی به کار می‌روند.

در ادامه، از یکی از عملگرهای مبتنی بر T-norm برای اجتماع معیارها استفاده خواهد شد. توابع زیر به عنوان پرکاربردترین و مشهورترین توابع تصمیم‌گیرنده در روش ارزیابی چندمعیاره فازی به کار رفته‌اند. یکی از مهم‌ترین توابع تصمیم‌گیرنده، توسط یاگر برای اجتماع معیارهای وزن‌دار با وزن‌های متفاوت معرفی شده است (Yager, 1978; Sousa and Kaymak, 2002):

شکل (۱)، یک نگاشت از روش ارزیابی چندمعیاره شامل وزن پارامترها و ماتریس مربوطه که با یکتابع تصمیم‌گیرنده به صورت روابط (۱۰) و (۱۱) ترکیب شده است را نشان می‌دهد (Tutmez et al., 2007):

$$\xi: U \rightarrow F(E) \quad (10)$$

$$u \rightarrow \xi(u), \quad D^{(u)} = f(W, R^{(u)}) \quad (11)$$

در روابط (۱۰) و (۱۱)، f معیار تصمیم‌گیری است که برای ارزیابی گزینه به کار گرفته شده است.

۲-۳. انتخاب عملگر (اجتماع)

در این مرحله، انتخاب عملگر تجمعیع‌گیرنده بسیار مهم است. تعداد زیادی توابع انتقال مانند توابع انتقال حداقل (حداکثر) و حداکثر (حداقل) در مطالعات بسیاری از پژوهشگران معرفی شده‌اند. با این حال، امروزه به طور گسترده‌ای این مسئله پذیرفته شده است که از هر تجمعیع‌کننده مجموعه‌های فازی می‌توان در روش ارزیابی چندمعیاره استفاده کرد. عملگرهای تجمعیع‌کننده برای ارزیابی انواع مختلف حالت تصمیم که برای قضاویت نیازمند توابع متفاوتی هستند، استفاده می‌شوند. بنابراین تصمیم‌گیرنده‌ها ممکن است یک تابع تصمیم‌گیرنده را انتخاب کنند که بهترین عملکرد در تصمیم‌گیری را داشته

در رابطه فوق، γ یک مقدار مشخص بوده که معرف خوشبینی فرد تصمیم‌گیرنده است. در این پژوهش، از تابع معرفی شده توسط دابویس و پرید با حداقل وزن استفاده شده است.

۳. معیارهای مؤثر بر قابلیت مکانیزاسیون

با توجه به مطالعات انجام شده، از عمدترین عوامل مؤثر بر قابلیت مکانیزاسیون لایه‌های زغالسنگ در قالب دو گروه کلی مشخصات لایه‌های زغالی و شرایط محیطی، می‌توان به معیارهایی نظیر شیب، ضخامت، یکنواختی، شرایط سنگ سقف (مقاومت سنگ)، شرایط سنگ کف (ظرفیت برابری سنگ)، آب موجود در سینه کار و گستردنگی لایه اشاره کرد (شکل ۲).

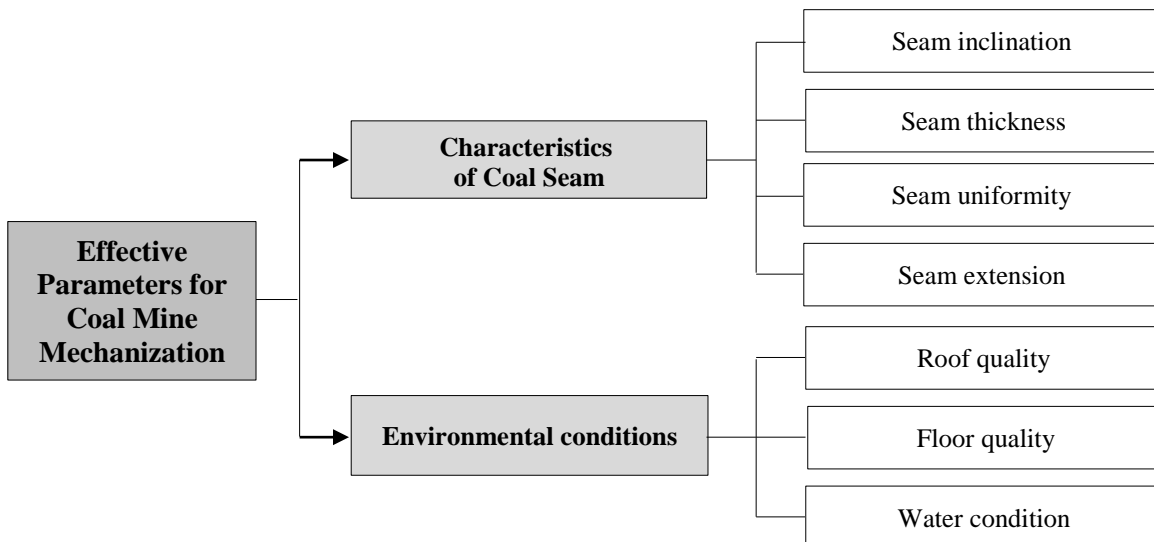
$$D^W(\mu_1, \mu_2, \dots, \mu_m) = \Lambda_{i=1}^m \mu_i^{w_i} \quad (12)$$

دابویس و پرید، یک تابع تصمیم‌گیری برای کاربرد در تئوری احتمالات معرفی کردند (Dubois and Prade, 1980)

$$D^W(\mu_1, \mu_2, \dots, \mu_m) = \Lambda_{i=1}^m [(1 - w_i) \vee \mu_i] \quad (13)$$

علاوه بر این عملگرهای کایماک نیز T-norm توسعه یافته وزن‌داری را پیشنهاد کرد که می‌تواند برای تجمعی قضاوت‌ها مورد استفاده قرار گیرد (Kaymak, 1998). این متدهای تواند در توسعه هر T-norm ارشمیدسی به معادل وزن خود استفاده شود. به عنوان مثال، معادل وزنی T-norm یاگر با توجه به رابطه (14) برابر است با (Yager, 1980)

$$D^W = \text{Max} \left[0.1 - \left(\sum_{i=1}^m W_i \times (1 - \mu_i)^{\gamma} \right)^{\frac{1}{\gamma}} \right], \quad \gamma > 0 \quad (14)$$



شکل ۲. پارامترهای مؤثر بر مکانیزاسیون لایه‌های زغالسنگ

مکانیزه در شیب‌های کم‌تر از 30° درجه به خوبی مورد استفاده قرار می‌گیرند. هر چند که امروزه در بعضی از نقاط اروپا در شیب‌های 40 تا 70 درجه، استخراج به صورت مکانیزه صورت می‌گیرد. به طور کلی، با افزایش شیب یک لایه، قابلیت مکانیزاسیون لایه کاهش پیدا می‌کند (عطایی، ۱۳۹۰).

۱-۳. شیب لایه

شیب لایه یکی از پارامترهای مهمی است که نقش عمداتی در پایداری و قابلیت مکانیزاسیون لایه‌های زغالی ایفا می‌کند. هر چه شیب لایه‌های زغال کم‌تر باشد، استخراج مکانیزه آن نیز راحت‌تر خواهد بود. به طوری که تجهیزات و سیستم‌های

بارهای واردہ به سیستم نگهداری قدرتی و توزیع مناسب بار به سینه کار، نیاز است تا سقف پس از حرکت سیستم نگهداری به طور طبیعی تخریب (ریزش) شود (Unrug and Szwilski, 1982). شاخص‌های مختلفی را برای ارزیابی کیفیت سنگ‌های سقف لایه‌های زغالی ارائه کرده‌اند. شاخص کیفیت سنگ سقف به پارامترهایی از قبیل مقاومت فشاری سنگ سقف در حالت برجا و ضخامت سقف بالافصل بستگی دارد. مقدار عددی این شاخص از رابطه (۱۶) محاسبه می‌شود:

$$Q_r = 0.015 \times \sigma_M \times d \quad (16)$$

که در آن، σ_M مقاومت فشاری سنگ سقف در حالت برجا (بر حسب کیلوگرم بر سانتی‌مترمربع)، d ضخامت سقف بالافصل (بر حسب سانتی‌متر) و Q_r شاخص کیفیت سنگ سقف (بر حسب کیلوگرم بر سانتی‌متر) است. اندازه‌گیری مقدار σ_M در محل، نسبتاً سخت است. بنابراین، می‌توان از رابطه (۱۷) برای محاسبه این پارامتر استفاده کرد:

$$\sigma_M = \sigma_c \times k_1 \times k_2 \times k_3 \quad (17)$$

که در آن، σ_c مقاومت فشاری تکمحوری سنگ سقف (بر حسب کیلوگرم بر سانتی‌مترمربع)، k_1 ضریب مقاومت برجا، k_2 ضریب خزش و k_3 ضریب رطوبت است. ضرایب k_1 و k_2 به جنس سنگ سقف و خصوصیات آن بستگی داشته و بر اساس جدول (۱) تعیین می‌شوند (Unrug and Szwilski, 1982).

جدول ۱. ضرایب مؤثر بر مقاومت فشاری سنگ سقف

Rock type	k_1	k_2	k_3
Sandstone	0.33	0.7	0.6
mudstone	0.42	0.6	0.4
Siltstone & Claystone	0.5	0.6	0.4

ضخامت سقف بالافصل نیز از رابطه (۱۸) محاسبه می‌شود:

$$d = \frac{M}{k - 1} \quad (18)$$

۲-۳. ضخامت لایه

ضخامت لایه زغالسنگ، از دیگر پارامترهای مؤثر در تعیین قابلیت مکانیزه کردن استخراج لایه بوده و نقش عمداتی در انتخاب ماشین‌آلات استخراجی و باربری ایفا می‌کند. برای یک کارگاه استخراج مکانیزه، تغییرات ضخامت مناسب بین $1/8$ تا $5/8$ متر است که ضخامت اغلب لایه‌های زغالی بین $1/6$ تا 3 متر است. در لایه‌های با ضخامت بیش از 3 متر و کمتر از $6/0$ متر، قابلیت مکانیزاسیون کاهش می‌یابد. در ضخامت‌های بیش از $5/8$ متر استفاده از جبهه کار طولانی دو یا سه طبقه پیشنهاد می‌شود (عطایی، ۱۳۹۰).

۳-۱. یکنواختی لایه

گسل‌ها، یکی از عمدات ترین ساختارهای زمین‌شناسی در معادن زیرزمینی زغالسنگ است. میزان جابه‌جایی لایه زغالسنگ از گسل و تعداد گسل‌های موجود در طول لایه از مهم‌ترین عوامل تأثیرگذار بر چگونگی عبور جبهه کار زغالسنگ از گسل و قابلیت مکانیزاسیون لایه است. قابلیت مکانیزاسیون لایه زغالسنگ با میزان یکنواختی آن رابطه مستقیم دارد. میزان یکنواختی لایه بر حسب تغییرات شاخص جابه‌جایی (نسبت جابه‌جایی لایه به ضخامت آن) مشخص می‌شود:

(Walsh and Watterson, 1994)

$$I_t = \frac{t}{m} \quad (15)$$

که در آن، t میزان جابه‌جایی لایه توسط گسل (بر حسب متر)، m ضخامت لایه (بر حسب متر) است. در این طبقه‌بندی، شاخص جابه‌جایی لایه به صورت کسری از ضخامت لایه نشان داده شده است. میزان یکنواختی لایه با توجه به شاخص جابه‌جایی آن به صورت یک امتیاز به لایه اختصاص می‌یابد.

۳-۴. کیفیت سنگ سقف

یکی از پارامترهای مهم در استخراج لایه‌های زغالی با استفاده از روش استخراج جبهه کار طولانی، کیفیت سنگ سقف است. این روش برای لایه‌های زغالی با پایداری بالا (مقاومت بالا) قابل استفاده نیست؛ زیرا در این روش برای کاهش

توسط حفاری خشک شود. همچنین می‌توان از نگهدارنده صدزنج مخصوص استفاده کرد. حضور آب همواره به عنوان یک مانع برای معدنکاری زغالسنگ مطرح بوده و معدنکاران نیز از کار کردن در شرایط محیطی خیس، بیزار هستند (Hosseini et al., 2013).

۷-۳. گستردگی لایه

نگهدارنده‌های قدرتی در پانل‌های بزرگ قابلیت به کارگیری دارند. نصب این تجهیزات ۱۵ الی ۲۰ روز زمان می‌برد که به ارزش زغالسنگ افزوده می‌شود. هزینه نصب و راهاندازی سیستم نگهدارنده قدرتی در پهنه‌های بزرگ‌تر نسبت به پهنه‌های کوچک‌تر در هر تن استخراج زغالسنگ پایین‌تر است. با این حال، ممکن است هزینه نگهداری از این سیستم‌ها در پانل‌های بسیار بزرگ، بسیار زیاد باشد که این مشکل، لایحل نخواهد بود. پهنه‌ای بهینه لایه‌های زغالی بین ۸۰۰ تا ۱۰۰۰ متر تخمین زده می‌شود (Ataei et al., 2009). مشخصات ژئومکانیکی لایه‌های زغالسنگ و توده‌سنگ دربرگیرنده معادن مورد مطالعه در جدول (۲) نشان داده شده است.

۴. مطالعه موردی: معادن زغالسنگ حوضه البرز شرقی و طبس

در این پژوهش، لایه‌های مختلف معادن فعال زغالسنگ واقع در حوضه البرز شرقی به منظور ارزیابی قابلیت مکانیزاسون مورد بررسی قرار گرفته‌اند. حوضه زغالسنگ البرز شرقی یکی از مهم‌ترین حوضه‌های زغالسنگ ایران است که در شمال این کشور واقع شده است. این حوضه، شامل تمامی رسوبات زغال‌دار محدوده جاده فیروزکوه، جاده بجنورد-اسفراین، حاشیه کویر مرکزی ایران مانند چاه‌شیرین-جم و لارستان و منطقه سرخس را شامل می‌شود. معادن زغالسنگ تخت و طرره جزو معادن حوضه البرز شرقی هستند. همچنین یکی از لایه‌های معادن زغالسنگ پروده طبس به عنوان یکی از مهم‌ترین معادن حوضه زغالی ایران مرکزی، در این پژوهش مورد بررسی قرار گرفته است. در ادامه، شرح مختصراً از وضعیت معادن مذکور ارائه می‌شود.

که در آن، M ارتفاع معدنکاری (بر حسب متر) و k ضریب تورم سنگ سقف بالافصل (معمولًا ۱/۵) است. سقف‌هایی که شاخص کیفیت آن‌ها بین ۳۵ تا ۱۳۰ کیلوگرم بر سانتی‌متر است، به عنوان مناسب‌ترین سقف برای انجام عملیات استخراج جبهه‌کار طولانی انتخاب می‌شوند (Unrug and (Szwilski, 1982).

۵-۳. کیفیت سنگ کف

در روش جبهه‌کار طولانی، سنگ کف باید به گونه‌ای باشد که وقتی نگهدارنده قدرتی روی آن قرار می‌گیرد و بار قائم سقف از طریق نگهدارنده به آن وارد می‌شود، پایه‌های نگهدارنده در آن فرو نزود و پیشروی جبهه‌کار مختل نشود. عوامل اصلی که برای پیش‌بینی کیفیت سنگ کف باید مورد توجه قرار گیرند، عبارتند از (Stefanko and Bise, 1983):

- ظرفیت باربری سنگ کف: ظرفیت باربری سنگ کف، معرف حداکثر باری است که سنگ کف می‌تواند تحمل کند، بدون این که در آن شکستگی روی دهد (Unrug and (Szwilski, 1982).

- بار قائم ناشی از وزن لایه‌های سقف که توسط پایه‌های نگهدارنده به سنگ کف اعمال می‌شود. توان باربری در سنگ‌های شکننده و کشسان (نظیر: شیل و ماسه‌سنگ) بر اساس تئوری مقاومت کیفیت از رابطه (۱۹) محاسبه می‌شود:

$$\delta_b = 3C_0 \quad (19)$$

که در آن، δ_b توان باربری سنگ کف (بر حسب مگاپاسکال) و C_0 مقاومت فشاری تکمحوری (بر حسب مگاپاسکال) است. توان باربری سنگ کف با مقاومت سنگ رابطه مستقیم دارد. بنابراین هر چه مقاومت سنگ کف بیش‌تر باشد، قابلیت مکانیزاسیون لایه نیز بیش‌تر خواهد بود.

۳-۷. حضور آب در سینه‌کار حضور آب در سینه‌کار بسیار مضر بوده و باعث خوردگی نگهدارنده می‌شود. تحت این شرایط، باید پهنه استخراجی

است. محدوده معنی طزره متعلق به یک ناویدیس بزرگ با امتداد شرقی-غربی، تحت عنوان ناویدیس میاناب می‌باشد. رسوبات زغالدار این منطقه بخشی از سازند شمشک به سن تریاس فوکانی-ژوراسیک تحتانی هستند که از پایین به سنگ آهک‌های دولومیتی الیکا و از بالا به سنگ‌های آهکی سازند دلیچای محدود می‌شوند. در منطقه طزره، سازند شمشک به سه زیربخش به نام‌های پشکلات، آسیاب و کلاریز تقسیم می‌شود که از نظر چینه‌شناسی رسوبات زغالدار متعلق به زیربخش‌های کلاریز و پشکلات می‌باشند. ماسه‌سنگ‌های دربرگیرنده لایه‌های زغالسنگی دارای کوارتز، پلاژیوکلاز، میکروکلین، مسکوویت، زیرکن، تورمالین و آناتاز و شیل‌ها دارای کوارتز، پلاژیوکلاز و کانی‌های رسی هستند که بر اساس نامگذاری فولک، ماسه‌سنگ‌ها در محدوده سابلیت آرنایت تا لیت‌آرنایت و شیل‌های منطقه تحت عنوان شیل‌های سیلیتی و شیل‌های ماسه‌ای نامگذاری شده‌اند. پیریت، کالکوپیریت، کائولینیت و کوارتز کانی‌های موجود در زغالسنگ طزره هستند که در این میان، کوارتز و کانی‌های رسی فراوانی بیشتری دارند. بر اساس مطالعات پتروگرافی بر روی زغالسنگ‌ها، گروه‌های ویترینیت، اینزتینیت و لیپتینیت به ترتیب دارای بیشترین، متوسط و کمترین فراوانی در این زغالسنگ‌ها می‌باشند. بر پایه داده‌های ژئوشیمیایی سنگ‌های دربردارنده زغالسنگ در حوضه‌های کششی پشت کمان و در محیط زمین‌ساختی فعال تشکیل شده‌اند (سرشکی و همکاران، ۱۳۹۵). زغالسنگ موجود در منطقه، درون سنگ‌های ژوراسیک قرار دارد و به شکل لایه‌های ورقه‌ای دیده می‌شود. زغال‌های این منطقه از نوع گازهای چرب و ککشی چرب است. میزان ذخیره کانسار ۵۶۱۰ هزار تن و استخراج سالانه ۲۰۸۸۰ تن است. زغال‌های منطقه طزره مربوط به دوران دوم زمین‌شناسی و حد فاصل تریاس فوکانی تا ژوراسیک میانی قرار دارد. تشکیلات شمشک در طزره بین ۳۰۰۰ تا ۹۰۰۰ متر ضخامت داشته و دارای ۸۲ لایه زغالی است. تونل‌های پیشروی در این معادن با روش انفجاری بوده و سیستم استخراج در لایه‌های کم‌شیب به روش جبهه‌کار

۴-۱. معدن زغالسنگ تخت

معدن زغالسنگ تخت یکی از معادن زغالسنگ حوضه البرز شرقی است که در جنوب‌شرق شهرستان مینودشت در استان گلستان واقع شده است (شکل ۵). طول جغرافیایی منطقه تخت بین "۳۰,۳۰'۲,۲۲' تا ۵۵,۴۰'۲,۲۷' شرقی و عرض جغرافیایی آن بین "۱۰,۱۰'۳,۳۵' تا ۳۷,۰۲' شمالي می-باشد. عملیات اجرای این معدن، از سال ۱۳۷۸ آغاز شده است و در مرحله اکتشاف با گمانه‌زنی، جاده‌سازی و نمونه-برداری، ۲۰۰۰ مترمربع حفاری گمانه‌زنی ژئوفیزیک و ۲۵۰۰ هکتار نقشه‌های زمین‌شناسی انجام شده است. مطالعات زمین-شناسی نشان می‌دهد که این معدن در میان سازندهای الیکا، شمشک، دلیجان و لار به سن تریاس فوکانی تا ژوراسیک بروندز یافته است (خرقانی و همکاران، ۱۳۸۹). ذخیره منطقه تخت، چندان قابلیت ککدهی ندارد، ولی گوگرد کمتر از یک درصد، خاکستر پایین و ذخیره بالغ بر ۸۰ میلیون تنی منطقه، بهره‌برداری از این ذخیره را توجیه‌پذیر کرده است. منطقه تخت دربرگیرنده سه منطقه تخت، امام عبدالله و ساسنگ است که در منطقه تخت، عملیات بهره‌برداری آغاز شده و مناطق دیگر اکتشافی هستند. توان تولید این معدن ۵۰ هزار تن در سال است که زغالسنگ تولیدی معدن، برای فرآوری به کارخانه زغالشویی در مجاورت مجموعه طزره حمل می‌شود (Hosseini et al., 2012).

۴-۲. معدن زغالسنگ طزره

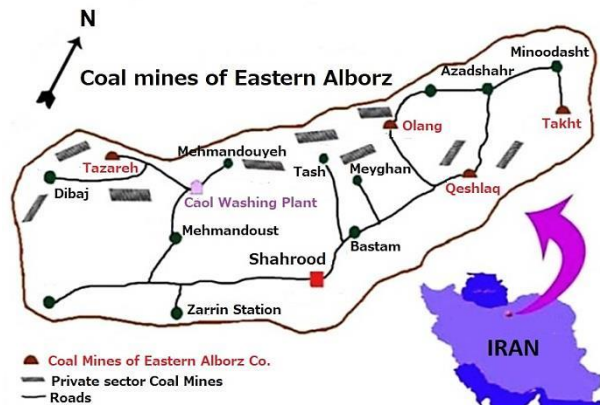
منطقه طزره در شمال‌شرقی ایران و به ترتیب در فواصل ۷۰ و ۴۰ کیلومتری شمال‌غربی شاهرود و شرق دامغان، بین طول-های "۴۵,۴۵'۳۰,۳۰' و "۴۸,۱۸'۴۸" شرقی و عرض‌های "۳۰,۳۶'۲۲,۳۰' و "۵۰,۵۰'۲۵,۳۶" شمالي واقع شده است (شکل ۶). منطقه گستردۀ طزره به چند بخش کوچک‌تر شامل مناطق دهملا، ممدویه، رزمجا، پشتکلات و کلاریز (از شرق به غرب) می‌شود. این منطقه توسط سازندهای الیکا-شمشک-دلیچای و لار احاطه شده است. سازند زغالدار در این ناحیه، بخشی از سازند شمشک بوده و وسعتی در حدود ۴۰ کیلومترمربع و با تناوبی از لایه‌های زغالی، ماسه‌سنگ و شیل

سنگ‌های رسوبی منطقه، در محدوده سازند نای بند با سن تریاس پسین قرار می‌گیرند. واحدهای سنگ‌چینهای رخنمون-یافته در گستره این منطقه اساساً شامل رسوبات محیط‌های ساحلی و کم‌عمق است که لایه‌هایی از رسوبات نواحی عمیق‌تر و یا رودخانه‌ای نیز در آن دیده می‌شود. عمدۀ این نهشت‌ها شامل ماسه‌سنگ، شیل و مارن و سنگ آهک‌های اوولیتی و پرفسیل است که لایه‌های نازک تا ضخیم زغال‌سنگ نیز در آن یافت می‌شود. از نظر زمانی از تریاس بالایی تا ژوراسیک میانی بر جای گذاشته شده شده‌اند. رسوباتی که در ناحیه پروده دارای رخنمون هستند از قدیم به جدید عبارتند از: سازند نای بند، آب حاجی، پروده و بغضه (Shariat Nia, 1993). ضخامت سازند نای بند در برش چینه‌شناسی پروده ۱۴۱۰ متر اندازه‌گیری شده است. سازند نای بند در این برش از نظر سنگ‌شناسی یکنواخت بوده و در مقایسه با برش الگو از اختلاف سنگ‌شناسی کم‌تری برخوردار است. از سوی دیگر، مرز میان دولومیت‌های تریاس میانی (سازند شتری) و قاعده سازند نای بند دیده نمی‌شود. ضخامت زون زغال اصلی حدود ۱۰۰ متر است و شامل: ماسه‌سنگ، سنگ آهک، سیلت، شیل و زغال‌سنگ است. لایه‌های این زون دارای امتداد جنوب‌شرقی- شمال‌غربی هستند (رجب‌زاده و همکاران, ۱۳۹۴).

زغال‌سنگ‌های معدن پروده از نوع کک‌شو است که اولین معدن تمام‌mekanیزه کشور با ظرفیت استخراج $1/2$ میلیون تن در سال در آن طراحی و در حال حاضر استخراج می‌شود. زغال‌سنگ‌های پروده طبس، اغلب از نوع بی‌تومینه با مواد فرار کم و میزان خاکستر آن بالا و به طور متوسط 40 درصد است (دفتر فنی معدن پروده طبس, ۱۳۷۶). شکل (۴) موقعیت جغرافیایی معدن زغال‌سنگ پروده طبس را نشان می‌دهد.

جدول (۲)، مشخصات ژئومکانیکی لایه‌های زغال‌سنگ معدن البرز شرقی و طبس و نیز خصوصیات توده‌سنگ دربرگیرنده آن‌ها را نشان می‌دهد.

طولانی و در لایه‌های پرشیب، با روش پلکانی معکوس انجام می‌شود (دفتر فنی شرکت البرز شرقی، ۱۳۸۰). شکل (۳) موقعیت جغرافیایی معدن زغال‌سنگ طزره و تخت را نشان می‌دهد.

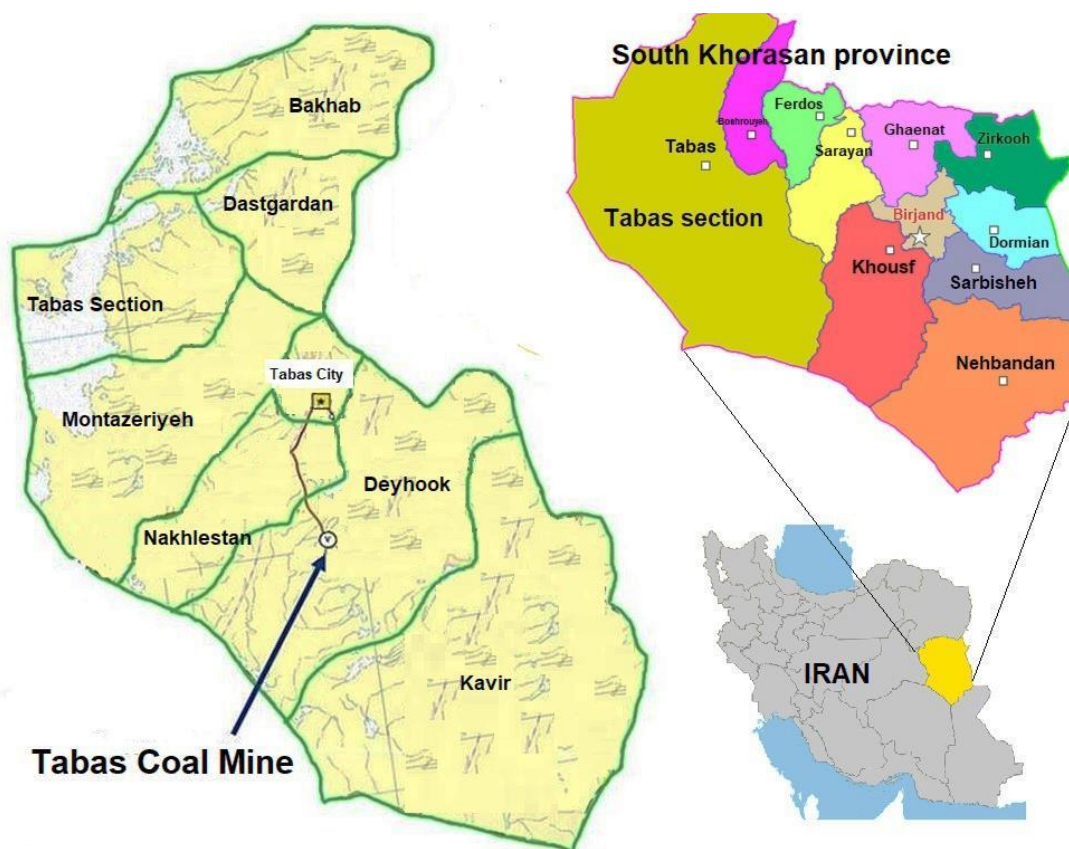


شکل ۳. موقعیت جغرافیایی معدن طزره و تخت (عرب عامری و همکاران, ۱۳۹۵)

۴-۳. معدن زغال‌سنگ پروده طبس

معدن زغال‌سنگ پروده طبس در شمال استان یزد و جنوب استان خراسان رضوی و در فاصله ۷۵ کیلومتری غرب طبس، در مسیر جاده آسفالتی طبس- یزد و در رسوبات زغال‌دار ایران مرکزی قرار دارد (معین السادات و رضوی ارمغانی, ۱۳۷۲). این منطقه در تقسیمات زمین‌شناسی ایران در محدوده ایران مرکزی و به طور خاص در ورقه زمین‌شناسی ۱:۲۵۰۰۰۰ طبس و ۱:۱۰۰۰۰ کریت قرار گرفته است (آقاباتی, ۱۳۸۳). منطقه پروده با گسترش ۱۲۰۰ کیلومتر میان طول‌های جغرافیایی $56^{\circ}, 45^{\circ}$ تا $56^{\circ}, 16'$ و عرض‌های جغرافیایی $32^{\circ}, 50'$ تا $33^{\circ}, 5'$ در قرار گرفته است (شکل ۷).

این ناحیه از دید زمین‌شناسی ساختاری، یک تاقدیس نامتفارن و کشیده با محور شرقی- غربی است که از شمال به دشت رسی کهن کاملاً هموار کویری، از جنوب به ارتفاعات نه- چندان مرتفع ژوراسیک (آب حاجی)، از شرق به رشته‌کوه شتری و از غرب به ارتفاعات ناحیه کلمرد (کمر مهدی) محدود می‌شود (رجب‌زاده و همکاران, ۱۳۹۴). مهم‌ترین



شکل ۴. موقعیت معدن پروude طبس بر روی نقشه

جدول ۲. مشخصات ژئومکانیکی لایه‌های زغالسنگ و توده‌سنگ در برگیرنده معادن مورد مطالعه

Mine	Seam	Seam inclination (Degree)	Seam thickness (m)	Seam uniformity	Extension of seam (m)	Roof quality (kg/cm ²)	Floor quality (MPa)	Water condition (m ³ /min)
Takht	K8	32.5	1	0.8	6500	140.4	112.5	5
	K10	30	1.6	0.8	10580	226	112.5	6
	K11	26	1.2	0.8	7000	417.7	83.4	4
	K17	30	0.9	0.8	3500	128	258.7	5
	K19	30	1.6	0.8	4500	219.6	258.7	3
	K20	29	0.6	0.8	5250	65.3	112.5	5
Tazareh	P1	51	0.4	2.5	6300	54.4	27.8	6
	P3	36	0.5	2	5680	244	86.32	4
	P10	43	0.88	1.14	4435	119.8	27.8	3
	K5	48	0.82	1.21	3670	400.2	86.32	5
	K6	33	0.59	1.69	7500	80.3	27.8	9
	K8b	38	0.82	1.21	6200	111.6	27.8	6
	K10b	31	0.8	1.25	5900	108.9	27.8	4
	K14	32	0.58	1.72	4100	78.9	27.8	7
	K19U	35	0.53	1.88	8200	278	27.8	4
	K19L	35	0.66	1.51	5000	89.8	27.8	8
Tabas	T	16	1.8	0.75	2700	95	80	100

طبقه‌بندی‌های مربوط به مسائل مختلف است. بر اساس نتایج پژوهش‌های انجام‌گرفته با این روش، مشخص است که از آن می‌توان در تحلیل‌ها و رده‌بندی‌های مرتبط با مسائل مهندسی معدن بهره گرفت. دلیل سازگاری این روش و نتایج حاصل از کاربردهای آن که با شرایط واقعی سازگاری بسیاری دارد، این است که این روش ترکیبی، تمامی مزایای روش‌های AHP تئوری فازی و روش دلفی را داشته و معایب یکایک این روش‌ها، زمانی که با هم ترکیب می‌شوند، به حداقل ممکن می‌رسد. از سوی دیگر، استفاده از تجمعیه مزایای روش‌های سه‌گانه فوق در قالب روش ترکیبی FDAHP موجب می‌شود که نه تنها نتایج حاصل از به کارگیری آن برای داده‌های شبیه سازی شده نتایج قابل قبولی در پی داشته باشد، بلکه نتایج روش مذکور با شرایط واقعی نیز مشابه قابل توجهی داشته و برای کاربردهای اجرایی و عملیاتی نیز می‌توان از نتایج آن بهره‌مند شد. بنابراین، به منظور اجرای روش فوق در طبقه‌بندی قابلیت میکانیزاسون لایه‌های زغالی معدن زغال‌سنگ مختلف کشور، لازم است که ابتدا میزان اهمیت معیارهای اثرگذار بر اساس نظرات خبرگان مشخص شوند. جدول (۳) نمونه‌ای از فرم پرسشنامه ارسالی به کارشناسان خبره را نشان می‌دهد.

۵. بحث و تحلیل

اولین گام از تحلیل داده‌ها، تعیین درجه اهمیت معیارها برای ایجاد سیستم طبقه‌بندی جدید است. میزان اهمیت هر یک از معیارهای ذکر شده با استناد به نظر خبرگان و متخصصان تعیین شد. در این مرحله، ابتدا فرم پرسشنامه برای کارشناسان خبره در زمینه معدن زغالی ارسال شد. در ادامه، پس از جمع‌آوری فرم‌های پرسشنامه، درجه اهمیت هر یک از معیارها با استفاده از روش تحلیل سلسله مراتبی فازی دلفی (FDAHP) محاسبه شد. در ادامه، برخی از پژوهش‌های مرتبط با این روش به اختصار تشریح می‌شود.

حسینی و همکاران (۲۰۰۹)، با استفاده از روش FDAHP یک سیستم طبقه‌بندی نوین برای ارزیابی قابلیت نفوذ‌پذیری ارائه کردند. میکائیل و همکاران (۲۰۱۳) نیز با به کارگیری روش FDAHP، قابلیت برش سنگ‌های زیستی را مورد رده‌بندی قرار دادند. در پژوهشی دیگر، حیاتی و همکاران (۲۰۱۴)، ارزیابی ریسک و رتبه‌بندی فلزات را با استفاده از روش ترکیبی FDAHP و TOPSIS بررسی کردند.

کیو و همکاران (۲۰۱۶) نیز ریسک آسودگی آب در یک معدن زغال‌سنگ واقع در چین را با روش ترکیبی FDAHP و تحلیل وابستگی خاکستری ارزیابی کردند. نتایج حاصل از پژوهش‌های مذکور، نشان‌دهنده قابلیت روش FDAHP در

جدول ۳. نمونه فرم پرسشنامه پاسخ‌داده شده توسط کارشناس اول

Degree of importance	Effective Criteria for the Mechanization of Coal Mines						
	Seam inclination	Seam thickness	Seam uniformity	Seam extension	Roof quality	Floor quality	Water condition
Very weak importance (VW)						•	•
Weak importance (W)							
Moderate importance (M)				•	•		
Strength importance (S)		•		•			
Very strength importance (VS)	•						

عددی مربوط به مقایسه زوجی اهمیت دو شاخص بر اساس جدول (۴) صورت گرفت.

جدول ۴. طبقه‌بندی کمی و کیفی برای مقایسه زوجی معیارها

Relative criteria comparison (verbal judgment)	Numerical score

در ادامه، ماتریس مقایسه زوجی بر اساس نظرات کارشناسان خبره با بهره‌گیری از روش پیشنهادی ساعتی (۱۹۹۴) تشکیل شد. در این مرحله، عناصر هر سطح نسبت به سایر عناصر موجود خود در سطح بالاتر به صورت زوجی مقایسه شده و ماتریس‌های مقایسه زوجی تشکیل شدند. تخصیص امتیازات

بر اساس مقایسه‌های زوجی تعیین شوند. درایه‌های قرینه نسبت به قطر، معکوس هم‌دیگر هستند. ماتریس مقایسه زوجی با استفاده از رابطه (۲۰) قابل محاسبه است. ماتریس مقایسه زوجی بر اساس نظر کارشناس اول در جدول (۵) درج شده است.

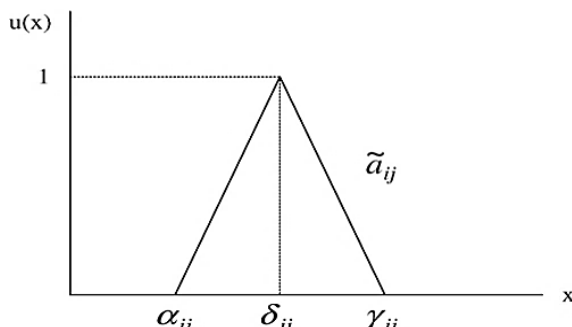
$$A = [a_{ij}] = \begin{bmatrix} 1 & a_{12} & \dots & a_{1n} \\ 1/a_{12} & 1 & \dots & a_{2n} \\ \vdots & \vdots & \ddots & \vdots \\ 1/a_{1n} & 1/a_{2n} & \dots & 1 \end{bmatrix} \quad (20)$$

Absolute Importance	9
Very strong importance	7
Strong importance	5
Poor importance	3
Equally importance	1
Preferences between distances	2,4,6,8

ماتریس مقایسه زوجی، یک ماتریس $n \times n$ بوده که n تعداد عناصری است مورد مقایسه قرار گرفته‌اند. برای هر ماتریس مقایسه زوجی $n \times n$ ، عناصر روی قطر مساوی یک بوده و نیازی به ارزیابی نیست، ولی در سایر درایه‌های ماتریس باید

جدول ۵. ماتریس مقایسه زوجی بر اساس نظر کارشناس اول

Criteria	C ₁	C ₂	C ₃	C ₄	C ₅	C ₆	C ₇
C_1 : Seam inclination	C ₁	1	3	4	5	6	7
C_2 : Seam thickness	C ₂	0.33	1	2	3	4	5
C_3 : Seam uniformity	C ₃	0.25	0.5	1	2	3	4
C_4 : Seam extension	C ₄	0.2	0.33	0.5	1	2	3
C_5 : Roof quality	C ₅	0.16	0.25	0.33	0.5	1	2
C_6 : Floor quality	C ₆	0.14	0.2	0.25	0.33	0.5	1
C_7 : Water condition	C ₇	0.14	0.2	0.25	0.33	0.5	1



شکل ۵. تابع عضویت مثلثی در روش فازی دلفی
(Liu & Chen, 2007)

$$\delta_{ij} = \left(\prod_{k=1}^n \beta_{ijk} \right)^{\frac{1}{n}}, \quad k = 1, 2, \dots, n \quad (23)$$

$$\gamma_{ij} = \text{Max}(\beta_{ijk}), \quad k = 1, 2, \dots, n \quad (24)$$

در روابط فوق، α_{ij} و γ_{ij} به ترتیب معرف حد بالا و حد پایین نظرات متخصصان می‌باشند. پارامتر β_{ijk} نیز معرف اهمیت نسبی پارامتر i نسبت به پارامتر j از دیدگاه متخصص k است (Liu and Chen, 2007).

پس از تشکیل ماتریس‌های مقایسه زوجی، نتایج حاصل برای تشکیل ماتریس مقایسه زوجی فازی مورد استفاده قرار گرفتند. در تشکیل این ماتریس از تابع عضویت مثلثی و در نتیجه، اعداد فازی مثلثی استفاده شده است. محاسبات مربوط به این روش شامل مراحل زیر است:

- محاسبه اعداد فازی: برای محاسبه اعداد فازی (a_{ij})، نظرات حاصل از نظرسنجی از متخصصان به طور مستقیم مدنظر قرار می‌گیرد. در این پژوهش، اعداد فازی بر اساس تابع عضویت مثلثی محاسبه شدند. شکل (۵) محاسبه اعداد فازی با روش مثلثی را نشان می‌دهد. مطابق شکل (۵) در روش فازی دلفی، یک عدد فازی با استفاده از روابطهای (۲۱) تا (۲۴) قابل محاسبه هستند:

$$a_{ij} = (\alpha_{ij}, \delta_{ij}, \gamma_{ij}) \quad (21)$$

$$a_{ij} = \text{Min}(\beta_{ijk}), \quad k = 1, 2, \dots, n \quad (22)$$

با به صورت:

$$\tilde{A} = \begin{bmatrix} (1, 1, 1) & (\alpha_{12}, \delta_{12}, \gamma_{12}) & (\alpha_{13}, \delta_{13}, \gamma_{13}) \\ \left(\frac{1}{\gamma_{12}}, \frac{1}{\delta_{12}}, \frac{1}{\alpha_{12}}\right) & (1, 1, 1) & (\alpha_{23}, \delta_{23}, \gamma_{23}) \\ \left(\frac{1}{\gamma_{13}}, \frac{1}{\delta_{13}}, \frac{1}{\alpha_{13}}\right) & \left(\frac{1}{\gamma_{23}}, \frac{1}{\delta_{23}}, \frac{1}{\alpha_{23}}\right) & (1, 1, 1) \end{bmatrix}$$

ماتریس مقایسه زوجی فازی محاسبه شده در جدول (۶) نشان داده شده است.

- تشكيل ماتريص مقاييسه زوجي فازى: در اين مرحله با استفاده از اعداد فازى که از مرحله قبل به دست آمده ماتريص مقاييسه زوجي فازى بين پارامترهاي مختلف با کمک رابطه (۲۵) تشکيل می شود:

$$\tilde{A} = [\tilde{a}_{ij}] \quad (25)$$

$$\tilde{a}_{ij} \times \tilde{a}_{ij} \approx 1, \quad \forall i, j = 1, 2, \dots, n$$

جدول ۶. ماتریس مقایسه زوجی فازی

	Seam inclination	Seam thickness	Seam uniformity	Seam extension	Roof quality	Floor quality	Water condition
Seam inclination	(1,1,1)	(0.33,1.071,5)	(1,2.84,9)	(1,3.15,9)	(3,4.4,7)	(1,3.04,9)	(3,5.19,7)
Seam thickness	(0.2,0.93,3)	(1,1,1)	(2,3.19,5)	(1,3.11,5)	(3,4.26,7)	(3,3.63,5)	(1,5.45,7)
Seam uniformity	(0.11,0.35,1)	(0.2,0.31,0.5)	(1,1,1)	(0.33,1.09,3)	(0.33,1.69,5)	(1,1.21,4)	(0.2,2.22,5)
Seam extension	(0.11,0.31,1)	(0.2,0.31,1)	(0.33,0.9,3)	(1,1,1)	(0.33,1.48,5)	(0.33,1.63,3)	(0.2,2.08,7)
Roof quality	(0.14,0.2,0.33)	(0.14,0.2,0.33)	(0.2,0.54,3)	(0.2,0.57,3)	(1,1,1)	(0.2,0.7,3)	(0.33,1.28,3)
Floor quality	(0.11,0.32,1)	(0.2,0.27,0.33)	(0.25,0.82,1)	(0.33,0.85,3)	(0.33,0.32,5)	(1,1,1)	(0.2,1.83,5)
Water condition	(0.14,0.19,0.3)	(0.14,0.22,1)	(0.2,0.44,5)	(0.14,0.47,5)	(0.33,0.66,3)	(0.2,0.54,5)	(1,1,1)

در روابط فوق، \otimes علامت ضرب اعداد فازی و \oplus علامت جمع اعداد فازی می باشد. در نهایت، پارامتر \tilde{W}_i که یک بردار سطحی است، معرف وزن فازی پارامتر i -ام است.

در این مرحله، وزن فازی متعلق به هر پارامتر را می توان با استفاده از رابطه های (۲۶) و (۲۷) تعیین کرد [۳۷]:

$$\tilde{Z}_i = [\tilde{a}_{i1} \otimes \dots \otimes \tilde{a}_{in}]^{\frac{1}{n}} \quad (26)$$

$$\tilde{W}_i = \tilde{Z}_i \otimes (\tilde{Z}_1 \oplus \dots \oplus \tilde{Z}_n) \quad (27)$$

$$\begin{aligned} \tilde{Z}_1 &= [\tilde{a}_{11} \otimes \tilde{a}_{12} \otimes \dots \otimes \tilde{a}_{17}]^{\frac{1}{7}} = [1.16, 2.48, 5.43] \\ \tilde{Z}_2 &= [\tilde{a}_{21} \otimes \tilde{a}_{22} \otimes \dots \otimes \tilde{a}_{27}]^{\frac{1}{7}} = [1.19, 0.92, 2.01] \\ \tilde{Z}_3 &= [\tilde{a}_{31} \otimes \tilde{a}_{32} \otimes \dots \otimes \tilde{a}_{37}]^{\frac{1}{7}} = [0.34, 0.92, 2.01] \\ \tilde{Z}_4 &= [\tilde{a}_{41} \otimes \tilde{a}_{42} \otimes \dots \otimes \tilde{a}_{47}]^{\frac{1}{7}} = [0.29, 0.85, 2.23] \\ \tilde{Z}_5 &= [\tilde{a}_{51} \otimes \tilde{a}_{52} \otimes \dots \otimes \tilde{a}_{57}]^{\frac{1}{7}} = [0.25, 0.54, 1.35] \\ \tilde{Z}_6 &= [\tilde{a}_{61} \otimes \tilde{a}_{62} \otimes \dots \otimes \tilde{a}_{67}]^{\frac{1}{7}} = [0.28, 0.76, 1.56] \\ \tilde{Z}_7 &= [\tilde{a}_{71} \otimes \tilde{a}_{72} \otimes \dots \otimes \tilde{a}_{77}]^{\frac{1}{7}} = [0.23, 0.44, 1.96] \\ \sum \tilde{Z}_i &= [3.77, 8.49, 18.53] \end{aligned}$$

$$\tilde{W}_i = \left(\prod_{j=1}^3 \omega_j \right)^{\frac{1}{3}} \quad (28)$$

$$\tilde{W}_1 = 0.30, \quad \tilde{W}_2 = 0.27, \quad \tilde{W}_3 = 0.1,$$

$$\begin{aligned} \tilde{W}_1 &= \tilde{Z}_1 \otimes (\tilde{Z}_1 \oplus \tilde{Z}_2 \oplus \tilde{Z}_3)^{-1} = [0.3, 0.292, 0.293] \\ \tilde{W}_2 &= \tilde{Z}_2 \otimes (\tilde{Z}_1 \oplus \tilde{Z}_2 \oplus \tilde{Z}_3)^{-1} = [0.31, 0.29, 0.21] \\ \tilde{W}_3 &= \tilde{Z}_3 \otimes (\tilde{Z}_1 \oplus \tilde{Z}_2 \oplus \tilde{Z}_3)^{-1} = [0.09, 0.1, 0.01] \\ \tilde{W}_4 &= \tilde{Z}_4 \otimes (\tilde{Z}_1 \oplus \tilde{Z}_2 \oplus \tilde{Z}_3)^{-1} = [0.07, 0.1, 0.12] \\ \tilde{W}_5 &= \tilde{Z}_5 \otimes (\tilde{Z}_1 \oplus \tilde{Z}_2 \oplus \tilde{Z}_3)^{-1} = [0.067, 0.064, 0.07] \\ \tilde{W}_6 &= \tilde{Z}_6 \otimes (\tilde{Z}_1 \oplus \tilde{Z}_2 \oplus \tilde{Z}_3)^{-1} = [0.075, 0.09, 0.08] \\ \tilde{W}_7 &= \tilde{Z}_7 \otimes (\tilde{Z}_1 \oplus \tilde{Z}_2 \oplus \tilde{Z}_3)^{-1} = [0.06, 0.05, 0.1] \end{aligned}$$

- غیرفازی کردن وزن اعداد فازی: پس از یافتن وزنهای فازی مربوط به هر یک از پارامترها، تمامی اعداد با استفاده از رابطه (۲۸) به صورت غیرفازی تبدیل می شوند (Liu and Chen, 2007)

جدول ۷. درجه اهمیت معیارهای مؤثر بر قابلیت مکانیزاسیون

لایه‌های زغال‌سنگ	
Criteria	Degree of importance
Seam inclination	0.3
Seam thickness	0.27
Seam uniformity	0.1
Seam extension	0.1
Roof quality	0.07
Floor quality	0.08
Water condition	0.07

$$\tilde{W}_4 = 0.1, \quad \tilde{W}_5 = 0.07, \quad \tilde{W}_6 = 0.08, \quad \tilde{W}_7 = 0.07$$

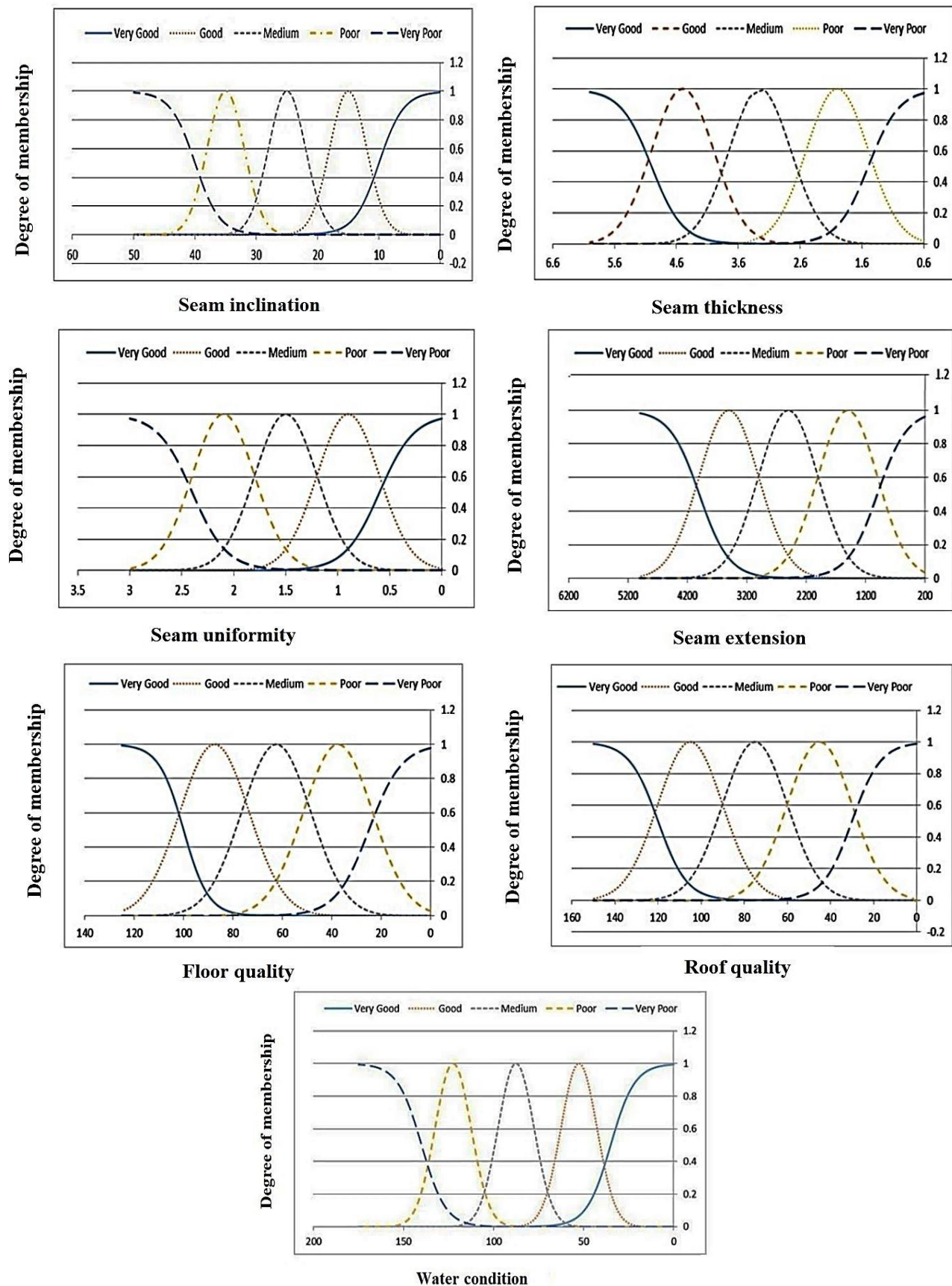
جدول (۷)، درجه اهمیت معیارهای مؤثر بر قابلیت مکانیزاسیون معادن زغال با استفاده از روش تحلیل سلسه مراتبی فازی دلفی نشان می‌دهد. گام بعدی، پس از تعیین درجه اهمیت معیارها، طبقه‌بندی معیارها در پنج رده متفاوت شامل خیلی خوب، خوب، متوسط، ضعیف و خیلی ضعیف است. نتایج مربوط به طبقه‌بندی معیارها در جدول (۸) ارائه شده است.

جدول ۸. طبقه‌بندی کمی و کیفی معیارهای مؤثر بر قابلیت مکانیزاسیون

Criteria	Quantitative and qualitative categories of criteria				
	0-10 Flat	10-20 Low slope	20-30 Relatively inclined	30-40 Inclined	40-50 High slope
Seam thickness	0.6-1.5 Very thick	1.5-2.5 thick	2.5-4 thickly	4-5 Thin	5-6 Very thin
	0-0.6 Totally uniform	0.6-1.2 Uniform	1.2-1.8 Relatively uniform	1.8-2.4 Non-uniform	2.4-3 Totally non-uniform
Seam uniformity	200-1000 Very small	1000-2000 Small	2000-3000 Medium	3000-4000 Large	4000 < Very large
	0-30 Very poor Stability	30-60 Poor Stability	60-90 Medium Stability	90-120 Strong Stability	120 < Very strong Stability
Roof quality	0-25 Very poor	25-50 Poor	50-75 Relatively Stable	75-100 Stable	100 < Very Stable
	0-35 Dry	35-70 Wet	70-105 Very wet	105-140 With water content	140 < High water content
Water condition					

انجام مراحل فوق، توابع عضویت پنج رده‌ای برای تمامی معیارها بر اساس جدول (۸) تعریف شدند. توابع تعیین شده در جدول (۹) ارائه شده‌اند.

پس از تعیین رده‌های مربوط به هر معیار، برای هر یک از معیارها، یک تابع عضویت گائوسی یا سیگموئیدال تعریف شد. در شکل (۶) توابع عضویت گائوسی و سیگموئیدالی تعریف شده برای تمامی معیارها نشان داده شده است. پس از



شكل ۶. نمودار توابع عضویت معیارها

جدول ۹. توابع ارائه شده برای ارزیابی قابلیت مکانیزاسیون لایه‌های زغال

Qualitative category	Seam thickness	Seam inclination
Very weak	$Q_1^{(1)}(x) = \frac{1}{1 + \exp((4) \times (x - 1.5))}$	$Q_1^{(1)}(x) = \frac{1}{1 + \exp((-0.15) \times (x - 140))}$
Weak	$Q_1^{(2)}(x) = \exp\left(-\frac{1}{2}\left(\frac{x-2}{0.5}\right)^2\right)$	$Q_1^{(2)}(x) = \exp\left(-\frac{1}{2}\left(\frac{x-122.5}{10}\right)^2\right)$
Moderate	$Q_1^{(3)}(x) = \exp\left(-\frac{1}{2}\left(\frac{x-3.25}{0.5}\right)^2\right)$	$Q_1^{(3)}(x) = \exp\left(-\frac{1}{2}\left(\frac{x-87.5}{10}\right)^2\right)$
Strength	$Q_1^{(4)}(x) = \exp\left(-\frac{1}{2}\left(\frac{x-4.5}{0.5}\right)^2\right)$	$Q_1^{(4)}(x) = \exp\left(-\frac{1}{2}\left(\frac{x-52.5}{10}\right)^2\right)$
Very Strength	$Q_1^{(5)}(x) = \frac{1}{1 + \exp((-4) \times (x - 5))}$	$Q_1^{(5)}(x) = \frac{1}{1 + \exp((-0.15) \times (x - 35))}$
Qualitative category	Seam extension	Seam uniformity
Very weak	$Q_1^{(1)}(x) = \frac{1}{1 + \exp((0.004) \times (x - 1000))}$	$Q_1^{(1)}(x) = \frac{1}{1 + \exp((-6) \times (x - 2.4))}$
Weak	$Q_1^{(2)}(x) = \exp\left(-\frac{1}{2}\left(\frac{x-1500}{500}\right)^2\right)$	$Q_1^{(2)}(x) = \exp\left(-\frac{1}{2}\left(\frac{x-2.1}{0.3}\right)^2\right)$
Moderate	$Q_1^{(3)}(x) = \exp\left(-\frac{1}{2}\left(\frac{x-2500}{500}\right)^2\right)$	$Q_1^{(3)}(x) = \exp\left(-\frac{1}{2}\left(\frac{x-1.5}{0.3}\right)^2\right)$
Strength	$Q_1^{(4)}(x) = \exp\left(-\frac{1}{2}\left(\frac{x-3500}{500}\right)^2\right)$	$Q_1^{(4)}(x) = \exp\left(-\frac{1}{2}\left(\frac{x-0.9}{0.3}\right)^2\right)$
Very Strength	$Q_1^{(5)}(x) = \frac{1}{1 + \exp((-0.004) \times (x - 4000))}$	$Q_1^{(5)}(x) = \frac{1}{1 + \exp((6) \times (x - 0.6))}$
Qualitative category	Floor quality	Roof quality
Very weak	$Q_1^{(1)}(x) = \frac{1}{1 + \exp((0.15) \times (x - 25))}$	$Q_1^{(1)}(x) = \frac{1}{1 + \exp((-0.15) \times (x - 30))}$
Weak	$Q_1^{(2)}(x) = \exp\left(-\frac{1}{2}\left(\frac{x-37.5}{14}\right)^2\right)$	$Q_1^{(2)}(x) = \exp\left(-\frac{1}{2}\left(\frac{x-45}{15}\right)^2\right)$
Moderate	$Q_1^{(3)}(x) = \exp\left(-\frac{1}{2}\left(\frac{x-62.5}{14}\right)^2\right)$	$Q_1^{(3)}(x) = \exp\left(-\frac{1}{2}\left(\frac{x-75}{15}\right)^2\right)$
Strength	$Q_1^{(4)}(x) = \exp\left(-\frac{1}{2}\left(\frac{x-87.5}{14}\right)^2\right)$	$Q_1^{(4)}(x) = \exp\left(-\frac{1}{2}\left(\frac{x-105}{15}\right)^2\right)$
Very Strength	$Q_1^{(5)}(x) = \frac{1}{1 + \exp((-0.2) \times (x - 100))}$	$Q_1^{(5)}(x) = \frac{1}{1 + \exp((-0.15) \times (x - 120))}$
Qualitative category	Water condition	
Very weak	$Q_1^{(1)}(x) = \frac{1}{1 + \exp((-0.15) \times (x - 140))}$	
Weak	$Q_1^{(2)}(x) = \exp\left(-\frac{1}{2}\left(\frac{x-122.5}{10}\right)^2\right)$	
Moderate	$Q_1^{(3)}(x) = \exp\left(-\frac{1}{2}\left(\frac{x-87.5}{10}\right)^2\right)$	
Strength	$Q_1^{(4)}(x) = \exp\left(-\frac{1}{2}\left(\frac{x-52.5}{10}\right)^2\right)$	
Very Strength	$Q_1^{(5)}(x) = \frac{1}{1 + \exp((-0.15) \times (x - 35))}$	

(۱۲) و همچنین استفاده از عملکر دابویس و پرید به منظور ارزیابی قابلیت مکانیزاسیون لایه K11 معدن تخت، K5 معدن طزره و T معدن پروده طبس آورده شده‌اند. مطابق نتایج به‌دست‌آمده، لایه K11 معدن تخت، K5 معدن طزره و T معدن پروده طبس به ترتیب در رده کیفی متوسط، خیلی ضعیف و خوب از نظر قابلیت مکانیزاسیون قرار گرفتند.

گام بعدی پس از ایجاد سیستم طبقه‌بندی، ارزیابی این سیستم با استفاده از داده‌های به‌دست‌آمده از لایه‌های زغال‌سنگ طبس و حوضه البرز شرقی خواهد بود. اولین مرحله، تشکیل ماتریس فازی برای هر یک از لایه‌ها است. درایه‌های ماتریس فازی به صورت نمایش داده می‌شوند که هر درایه، نشان‌دهنده درجه عضویت معیار متناظر با در رده از درایه مذکور است. در ادامه، نمونه ماتریس‌های فازی (جداول ۱۰ تا

جدول ۱۰. ماتریس فازی لایه K11

Criteria	Mine data	Fuzzy matrix components				
		Very Poor (VP)	Poor (P)	Moderate (M)	Good (G)	Very Good (VG)
Seam inclination	26	0.0009	0.0111	0.9459	0.0012	0.0003
Seam thickness	1.2	0.7685	0.2780	0.0002	0	0
Seam uniformity	0.8	0	0	0.0657	0.9459	0.2314
Seam extension	7000	0	0	0	0	0.9999
Roof quality	417.7	0	0	0	0	1
Floor quality	83.4	0.0001	0.0046	0.3281	0.9580	0.0348
Water condition	4	0	0	0	0	0.9905

$$D = f(W, R) \dots [0.3, 0.27, 0.1, 0.07, 0.08, 0.1, 0.07] O \begin{bmatrix} VP & P & M & G & VG \\ 0.0009 & 0.0111 & 0.9459 & 0.0012 & 0.0003 \\ 0.7685 & 0.2780 & 0.0002 & 0 & 0 \\ 0 & 0 & 0.0657 & 0.9459 & 0.2314 \\ 0 & 0 & 0 & 0 & 1 \\ 0.0001 & 0.0046 & 0.3281 & 0.9580 & 0.0348 \\ 0 & 0 & 0 & 0 & 0.9999 \\ 0 & 0 & 0 & 0 & 0.9905 \end{bmatrix}$$

$$d_1(u) = ((1 - w_1)vr_{11}(u)) \wedge \dots \wedge ((1 - w_7)vr_{71}(u)) = 0.7$$

$$d_2(u) = ((1 - w_1)vr_{12}(u)) \wedge \dots \wedge ((1 - w_7)vr_{72}(u)) = 0.7$$

$$d_3(u) = ((1 - w_1)vr_{13}(u)) \wedge \dots \wedge ((1 - w_7)vr_{73}(u)) = 0.73$$

$$d_4(u) = ((1 - w_1)vr_{14}(u)) \wedge \dots \wedge ((1 - w_7)vr_{74}(u)) = 0.7$$

$$d_5(u) = ((1 - w_1)vr_{15}(u)) \wedge \dots \wedge ((1 - w_7)vr_{75}(u)) = 0.7$$

$$D = f(W, R) = (0.7, 0.7, \boxed{0.73}, 0.7, 0.7)$$

جدول ۱۱. ماتریس فازی لایه K5

Criteria	Mine data	Fuzzy matrix components				
		Very Poor (VP)	Poor (P)	Moderate (M)	Good (G)	Very Good (VG)
Seam inclination	48	0.9820	0	0	0	0
Seam thickness	0.82	0.9381	0.0617	0	0	0
Seam uniformity	1.21	0.0007	0.0122	0.6267	0.5863	0.0250
Seam extension	3670	0	0	0	0.0647	0.2108
Roof quality	400.2	0	0	0	0	1
Floor quality	86.32	0.0001	0.0022	0.2351	0.9964	0.0608
Water condition	5	0	0	0	0	0.9890

$$D = f(W, R) \dots [0.3, 0.27, 0.1, 0.07, 0.08, 0.1, 0.07] O$$

$$\begin{bmatrix} VP & P & M & G & VG \\ 0.9820 & 0 & 0 & 0 & 0 \\ 0.9381 & 0.0617 & 0 & 0 & 0 \\ 0.0007 & 0.0122 & 0.6267 & 0.5863 & 0.0250 \\ 0 & 0 & 0 & 0 & 1 \\ 0.0001 & 0.0022 & 0.2351 & 0.9964 & 0.0608 \\ 0 & 0 & 0.0647 & 0.9438 & 0.2108 \\ 0 & 0 & 0 & 0 & 0.9890 \end{bmatrix}$$

$$d_1(u) = ((1 - w_1) \vee r_{11}(u)) \wedge \dots \wedge ((1 - w_7) \vee r_{71}(u)) = 0.9$$

$$d_2(u) = ((1 - w_1) \vee r_{12}(u)) \wedge \dots \wedge ((1 - w_7) \vee r_{72}(u)) = 0.7$$

$$d_3(u) = ((1 - w_1) \vee r_{13}(u)) \wedge \dots \wedge ((1 - w_7) \vee r_{73}(u)) = 0.7$$

$$d_4(u) = ((1 - w_1) \vee r_{14}(u)) \wedge \dots \wedge ((1 - w_7) \vee r_{74}(u)) = 0.7$$

$$d_5(u) = ((1 - w_1) \vee r_{15}(u)) \wedge \dots \wedge ((1 - w_7) \vee r_{75}(u)) = 0.7$$

$$D = f(W, R) = (\boxed{0.9}, 0.7, 0.7, 0.7, 0.7)$$

جدول ۱۲. ماتریس فازی لایه T

Criteria	Mine data	Fuzzy matrix components				
		Very Poor (VP)	Poor (P)	Moderate (M)	Good (G)	Very Good (VG)
Seam inclination	16	0	0	0.0111	0.9459	0.0474
Seam thickness	1.8	0.2314	0.9231	0.0149	0	0
Seam uniformity	0.75	0	0	0.0439	0.8824	0.2890
Seam extension	2700	0.0011	0.0561	0.9231	0.2780	0.0054
Roof quality	95	0	0.0038	0.4111	0.8007	0.0229
Floor quality	80	0.0002	0.0099	0.4578	0.8663	0.0179
Water condition	100	0.0024	0.0795	0.4578	0	0

$$D = f(W, R) \dots [0.3, 0.27, 0.1, 0.07, 0.08, 0.1, 0.07] O$$

$$\begin{bmatrix} VP & P & M & G & VG \\ 0 & 0 & 0.0111 & 0.9459 & 0.0474 \\ 0.2314 & 0.9231 & 0.0149 & 0 & 0 \\ 0 & 0 & 0.0439 & 0.8824 & 0.2890 \\ 0 & 0.0038 & 0.4111 & 0.8007 & 0.0229 \\ 0.0002 & 0.0099 & 0.4578 & 0.8663 & 0.0179 \\ 0.0011 & 0.0561 & 0.9231 & 0.2780 & 0.0054 \\ 0.0024 & 0.0795 & 0.4578 & 0 & 0 \end{bmatrix}$$

$$d_1(u) = ((1 - w_1) \vee r_{11}(u)) \wedge \dots \wedge ((1 - w_7) \vee r_{71}(u)) = 0.7$$

$$d_2(u) = ((1 - w_1) \vee r_{12}(u)) \wedge \dots \wedge ((1 - w_7) \vee r_{72}(u)) = 0.7$$

$$d_3(u) = ((1 - w_1) \vee r_{13}(u)) \wedge \dots \wedge ((1 - w_7) \vee r_{73}(u)) = 0.7$$

$$d_4(u) = ((1 - w_1) \vee r_{14}(u)) \wedge \dots \wedge ((1 - w_7) \vee r_{74}(u)) = 0.73$$

$$d_5(u) = ((1 - w_1) \vee r_{15}(u)) \wedge \dots \wedge ((1 - w_7) \vee r_{75}(u)) = 0.7$$

$$D = f(W, R) = (0.7, 0.7, 0.7, \boxed{0.73}, 0.7)$$

لایه‌های مورد مطالعه با لحاظ کردن درجه اهمیت این
شاخص‌های ژئومکانیکی است، ولی سایر لایه‌های زغالی که
شامل تمامی لایه‌های منطقه طزره و دیگر لایه‌های معدن
تحت هستند، رده‌های کیفی ضعیف و خیلی ضعیف را به
خود اختصاص دادند. تمامی لایه‌های مورد مطالعه در حال
استخراج هستند. از بین این لایه‌ها، لایه T معدن پروده طبس
به صورت تماماً مکانیزه و سایر لایه‌ها به صورت سنتی
استخراج می‌شوند که این امر، نشان‌دهنده تطابق نتایج حاصل

نتایج به دست آمده برای ۱۷ کارگاه زغالسنگ مورد مطالعه با
شرایط متفاوت ژئومکانیکی، با استفاده از عملگر دابویس و
پرید، به منظور ارزیابی نتایج سیستم طبقه‌بندی فازی در
جدول (۱۳) ارائه شده است.

مطابق این نتایج، لایه T معدن پروده طبس رده کیفی خوب و
K11 معدن تخت، رده کیفی متوسط از نظر قابلیت
مکانیزاسیون را به خود اختصاص دادند. دلیل این امر پایین
بودن شب و ضخامت نسبتاً بالای این لایه‌ها نسبت به سایر

اختصاص دادند. سایر لایه‌های زغالی که شامل تمامی لایه‌های منطقه طزره و دیگر لایه‌های معدن تخت هستند، رده‌های کیفی ضعیف و خیلی ضعیف را به خود اختصاص دادند. تمامی لایه‌های مورد مطالعه در حال استخراج هستند. از میان لایه‌های مورد مطالعه، لایه T معدن پروده طبس به صورت تماماً مکانیزه و سایر لایه‌ها به صورت سنتی استخراج می‌شوند که این امر، نشان‌دهنده تطابق نتایج حاصل از این سیستم طبقه‌بندی با رفتار واقعی لایه‌های مورد مطالعه است. در مورد لایه K11 منطقه تخت که رده کیفی متوسط را به خود اختصاص داده، بهتر است به جای روش سنتی، از روش نیمه‌مکانیزه و از رنده به عنوان ابزار برنده به منظور استخراج زغال‌سنگ استفاده شود. سیستم طبقه‌بندی ارائه‌شده فقط با توجه به پارامترهای فنی به دست آمده است و عوامل اقتصادی در این سیستم طبقه‌بندی در نظر گرفته نشده‌اند. بنابراین لازم است که پس از محاسبه قابلیت مکانیزاسیون لایه‌های زغال‌سنگ، لایه‌هایی که با توجه به سیستم طبقه‌بندی ارائه‌شده قابلیت مکانیزاسیون قابل قبولی دارند، از نظر اقتصادی نیز مورد مطالعه و ارزیابی قرار گیرند.

از این سیستم طبقه‌بندی با رفتار واقعی لایه‌های مورد مطالعه است.

جدول ۱۳. نتایج طبقه‌بندی فازی برای لایه‌های مورد مطالعه

Mine	Seam	Qualitative Index
Tabas	T	Good
	K8	Poor
	K10	Very Poor
	K11	Moderate
	K17	Very Poor
	K19	Very Poor
	K20	Very Poor
	P1	Very Poor
	P3	Poor
	P10	Very Poor
Tazareh	K5	Very Poor
	K6	Poor
	K8b	Very Poor
	K10b	Very Poor
	K14	Very Poor
	K19U	Poor
	K19L	Poor

۶. نتیجه‌گیری

در این پژوهش، پس از ایجاد سیستم طبقه‌بندی، قابلیت مکانیزاسیون لایه‌های زغالی با استفاده از داده‌های به دست آمده از لایه‌های زغال‌سنگ طبس و معادن حوضه البرز شرقی با تشکیل ماتریس فازی و با بهره‌گیری از عملگر فازی دابویس و پرید مورد ارزیابی قرار گرفتند. مطابق نتایج به دست آمده، لایه T معدن پروده طبس، رده کیفی خوب و K11 معدن تخت، رده کیفی متوسط از نظر قابلیت مکانیزاسیون را به خود

منابع

- آقابناتی، س.ع. ۱۳۸۳. زمین‌شناسی ایران. تهران: سازمان زمین‌شناسی و اکتشافات معدنی کشور. ۶۴۰ ص.
- حسینی، ه.، میکائیل، ر.، حسینی، ع.، ا.، عطایی، م. ۱۳۹۱. ارائه یک اندیس جدید به منظور ارزیابی قابلیت مکانیزاسیون لایه‌های زغالی معدن زغال‌سنگ طزره. فصلنامه زمین‌شناسی کاربردی، (۱)۱: ۲۵-۱۹.
- خرقانی، م.، دهرآزما، ب.، سرقینی، ج.، رحیمی، م. ۱۳۸۹. ارزیابی مقایسه‌ای تأثیرگذاری معادن زغال‌سنگ طزره و تخت بر کسفت و توزیع غلظت عناصر B و Br در منابع آبی منطقه. کنگره بین‌المللی معدن. تهران. خانه معدن ایران.
- دفتر فنی شرکت البرز شرقی. ۱۳۸۰. طرح اکتشاف و تجهیز معادن زغال‌سنگ.
- دفتر فنی معدن پروده طبس. ۱۳۷۶. گزارش عملیات اکتشاف ناحیه‌ی زغال‌دار پروده (اطلاعات کلی).

- رجب‌زاده، م.ع.، قربانی، ز.، جلالی‌فرد، م.، محمدزاده، م. ۱۳۹۶. ژئوشیمی و ارزیابی فرآوری عناصر سمی در زغالسنگ پروده، طبس. علوم زمین، ۱۸۸-۱۷۷: (۹۶)۲۴.
- رضوی ارمغانی، م.ب.، معین السادات، ح. ۱۳۷۲. زمین‌شناسی ایران (زغالسنگ). تهران: انتشارات سازمان زمین‌شناسی و اکتشافات معدنی کشور. ۲۸۶ ص.
- سرشکی، ف.، واعظیان، ا.، صفاری، ا. ۱۳۹۵. بررسی تأثیر ماسمال‌ها در نفوذپذیری زغالسنگ‌های معدن پروده و طزره. پژوهش‌های چینه‌نگاری و رسم‌شناسی، ۶۳(۳۲): ۲۲-۳۴.
- عطایی، م. ۱۳۹۰. معدن‌کاری زیرزمینی. شاهروド: دانشگاه صنعتی شاهروド. جلد دوم. ۳۳۷ ص.
- عرب عامری، م.، میرزایی، ح. ۱۳۹۵. بررسی تأثیر مقیاس بر مقاومت توده سنگ درزه دار – مطالعه موردی معدن زغال سنگ طزره. سومین کنگره ملی زغال سنگ ایران.
- قادرنژاد، ص.، لله‌گانی، س.، رجعتی، م.ح. ۱۳۹۵. رده‌بندی و قابلیت مکانیزاسیون کارگاه‌های معدن زغالسنگ طزره با استفاده از روش تحلیل سلسه مراتبی. سومین کنگره ملی زغال سنگ ایران. دانشگاه صنعتی شاهروド. شاهروド. ایران.
- Ataei., M., Khalokakaei., R., Hossieni., M. 2009. Determination of coal mine mechanization using fuzzy logic. *Mining Science and Technology (China)*, 19(2): 149–154.
- Baglio, S., Fortuna, L., Graziani, S., Muscato, G. 1994. Membership function shape and the dynamic behaviour of fuzzy systems. *International journal of adaptive control and signal processing*. 8(4): 369-377.
- Bárdossy, G., Fodor, J. 2005. Assessment of the completeness of mineral exploration by the application of fuzzy arithmetic and prior information. *Acta Polytechnica Hungarica*. 2(1): 15-31.
- Bellman, R.E., Zadeh, L.A. 1970. Decision-making in a fuzzy environment. *Management science*. 17(4): B-141.
- Dubois, D., Prade, H. 1980. New results about properties and semantics of fuzzy set-theoretic operators. In *Fuzzy Sets*. Boston, MA: Springer. 59-75pp.
- Ghadernejad, S., Jafarpour, A., Ahmadi, P. 2019. Application of an integrated decision-making approach based on FDAHP and PROMETHEE for selection of optimal coal seam for mechanization; A case study of the Tazareh coal mine complex, Iran. *International Journal of Mining and Geo-Engineering*, (53)1: 15-23. DOI: 10.22059/ijmge.2018.255070.594727.
- Hattingh., T., S., Sheer., T., J., Du Plessis., A., G. 2010. Human factors in mine mechanization. In The 4th International Platinum Conference, Platinum in transition ‘Boom or Bust’. The Southern African Institute of Mining and Metallurgy. 255-258.
- Hayaty, M., Tavakoli Mohammadi, M.R., Rezaei, A., Shayestehfar, M.R. 2014. Risk assessment and the ranking of metals using FDAHP and TOPSIS. *Mine Water and the Environment*. 33(2):157–164. DOI: 10.1007/s10230-014-0263-y.
- Hoseinie, S., Ataei, M., Osanloo, M. 2009. A new classification system for evaluating rock penetrability. *International Journal of Rock Mechanics & Mining Sciences* 46(8): 1329-1340. Doi: 10.1016/j.ijrmms.2009.07.002.
- Hosseini, S.M., Mikaeil, R., Ataei, M., Khalokakaei, R., Akhyani, M. 2013. Development a new classification for assessing the coal mine mechanization. *Archives of Mining Sciences* 58(1): 217–226. DOI: 10.2478/amsc-2013-0015.
- Hosseini., S., A., Ataei., M., Hosseini., M., Akhani., M. 2012. Application of fuzzy logic for determining of coal mine mechanization”, *Journal of Coal Science & Engineering*. 18(3): 225-231.
- Jang, J.S.R, Sun, C.T. 1997. Neuro-Fuzzy and soft computing, a computational approach to learning and machine intelligence. Prentice-Hall. Inc. pp. 24-30.

- Kaymak, U. 1998. Fuzzy decision making with control applications. PhD Thesis, Delft University of Technology, Netherlands.
- Li, H.X., Yen, V.C. 1995. Fuzzy sets and fuzzy decision making. CRC Press. 347pp.
- Liu, Y.C., Chen, C.S. 2007. A new approach for application of rock mass classification on rock slope stability assessment. *Engineering geology*. 89(1-2): 129–43. DOI:10.1016/j.enggeo.2006.09.017.
- Mikaeil, R., Ozcelik, Y., Ataei, M., Yousefi, R. 2013. Ranking the sawability of ornamental stone using Fuzzy Delphi and multi-criteria decision-making techniques. *International Journal of Rock Mechanics & Mining Sciences* 58: 118–126. DOI: 10.1016/j.ijrmms.2012.09.002.
- Ozfirat., M., K. 2012. A fuzzy Method for selection Underground Coal Mining Method Considering Mechanization Criteria. *Journal of Mining Science*. 48(3): 533-544.
- Piegat, A. 2001. Fuzzy Modeling and Control (Studies in Fuzziness and Soft Computing). Physica. 742pp.
- Qiu, M., Shi, L., Teng, C., Zhou, Y. 2016. Assessment of water inrush risk using the Fuzzy Delphi Analytic Hierarchy Process and Grey Relational Analysis in the Liangzhuang coal mine-China. *Mine Water and the Environment*. 48(3): 533-544. DOI: 10.1007/s10230-016-0391-7.
- Saaty, T.L. 1994. How to make a decision: The analytic Hierarchy process. *Institute of Operation Research and the Management Sciences*. 24(6): 19-43. DOI: 10.1287/inte.24.6.19.
- Shariat Nia, H. 1993. Geological characteristics of the Parvadeh region of the Tabas coal – bearing basine, Central, Iran. Unpublished Text. 22pp.
- Sousa, J.M., Kaymak, U., 2002. Fuzzy decision making in modeling and control. World Scientific. Vol. 27. 315pp.
- Stefanko, R., Bise, C. 1983. Coal mining technology: Theory and Practice. Society for Mining Metallurgy. 410 pp.
- Tutmez, B., Kahraman, S., Gunaydin, O. 2007. Multifactorial fuzzy approach to the sawability classification of building stones. *Construction and Building Materials*. 21(8): 1672–1679.
- Unrug, K., Szwilski, T.B. 1982. Method of Roof quality prediction. *State-of-the-Art of Ground Control in Longwall Mining and Mining Subsidence*. 17pp.
- Walsh., J.J., Watterson, J., 1994, New methods of fault projection for coalmine planning. *Proceedings of the Yorkshire Geological Society*. 48(2): 209-219.
- Wang., J., Jiao., S., Cheng., G. 2011. Fully mechanized coal mining technology for thin coal seam under complicated geological conditions. *Energy Exploration & Exploitation*. 29(2): 169–177.
- Yager, R.R. 1978. Fuzzy decision making including unequal objectives. *Fuzzy Sets and Systems*. 1(2): 87–95.
- Yager, R.R., 1980. On a general class of fuzzy connectives. *Fuzzy Sets and Systems*. 4(3): 235–242.
- Zadeh, L.A. 1965. Fuzzy Sets. *Inform and Control* 8(3)338-353. DOI: 10.1016/S0019-9958(65)90241-X.
- Zadeh, L.A. 1978. Fuzzy sets as a basis for a theory of possibility. *Fuzzy sets and systems*. 1(1): 3-28.